日本産科婦人科学会雑誌 ACTA OBST GYNAEC JPN Vol. 38, No. 9, pp. 1623-1631, 1986 (昭61, 9月)

脐帯動脈血所見と胎児心拍数図自動解析及び トレンドグラムの比較検討

鳥取大学医学部産科婦人科学教室(主任:前田一雄教授)

入 江 降

Automated Fetal Heart Rate Analysis and its Trendgram in Relation to the Gas Analysis and Acid-base Balance of Umbilical Cord Arterial Blood

Takashi IRIE

Department of Obstetrics and Gynecology, Tottori University School of Medicine, Yonago (Director: Prof. Kazuo Maeda)

概要 分娩時の胎児心拍数自動解析の諸指標を自動トレンドグラム表示して,脐帯動脈血所見との関連 を検討した. 対象は娩出前30分以上の記録が得られた妊娠33~42週の108例で, 1 分 Apgar スコアは 5 例 を除いて8点以上であつた。自己相関計式心拍数計の外測法で得られた胎児心拍数と子宮収縮信号を dux PDS-V の ADC に入力し, 前田の胎児心拍数自動解析 BASIC プログラムによつて処理した 5 分ご との自動解析の諸指標(胎児仮死指数、子宮収縮面積値、心拍数スコア、一過性徐脈数、胎児心拍数基 線,細変動,lag time)の自動トレンドグラムをディスプレイ上に表示した。脐帯動脈血分析には全自 動の Radiometer ABL-2を用い、pH, BE, HCO3, Po2, Pco2を測定し、以下の結果を得た。(1) 胎児仮 死指数の最高得点によつて4群に分類した。胎児仮死指数の上昇に伴い脐帯動脈血pH, BE, HCO₃の平 均値は低下する傾向があり、0点群と3点以上群ではそれぞれに有意差を認めた。(2) 心拍数スコアを 娩出前 0~10分から娩出前50~60分までの11時点で10分間合計し,脐帯動脈血各指標との間の相関係数 を求めた.脐帯動脈血 pH は娩出前 5 ~15分間 (r= -0.47) の,BE と HCO;は娩出前10~20分間 (r= -0.60、r=-0.45)の心拍数スコアと最大の相関係数が得られた。(3) 胎児仮死指数と心拍数スコアに より、分娩経過をトレンドグラム良好群と不良群に分類した。良好群は80例、不良群は28例で、両群間 で、脐帯動脈血各指標の平均値すべてに有意差を認めた。(4) トレンドグラム良好群では、 Po_2 を除いて 90%以上の症例が正常の脐帯動脈血所見を呈していた. 脐帯動脈血 pH < 7.25, BE < -6.0 mEq/l を予測 する鋭敏度、特異度はそれぞれ70%以上であり良好であつた。以上より、胎児仮死指数と心拍数スコア は分娩時の良い指標であることが確認された。またトレンドグラム良好群,不良群の分類は分娩時の胎 児監視システムとして有用と思われた.

Synopsis The gas analysis and acid-base balance of the umbilical cord arterial blood of 108 newborn infants were compared with the results of the automated analysis of the intrapartum fetal heart rate (FHR) and its trendgrams. The parameters of the automated analysis of the FHR, which consisted of fetal distress (FD) index, uterine contraction area, FHR score, number of dips, baseline heart rate, variability amplitude and lag time, were shown on the trendgram every 5 minutes using a microcomputer. 1) The mean pH, BE and HCO_3^- of the 4 groups, that showed 0, 1, 2 and 3 or more on the FD index, were gradually decreased as the FD index was increased. 2) The FHR score, that was accumulated for 10 minutes from $0\sim10$ minutes to $50\sim60$ minutes prior to the birth, was well correlated with the umbilical cord arterial blood pH (r=-0.47), BE (r=-0.60) and HCO_3^- (r=-0.45). 3) The intrapartum trendgrams were classified into the normal and ominous groups on the basis of the FHR score and FD index. The differences between the respective mean pH, BE, HCO_3^- , Po_2^- and Pco_2^- for these groups were highly significant. 4) The specificity and the sensitivity of the trendgram were more than 70% in the prediction of a pH value lower than 7.25 and of a BE value lower than -6.0mEq/l.

Key words: Fetal heart rate • Trendgram • Automated analysis • Intrapartum stage • Umbilical cord blood

1624

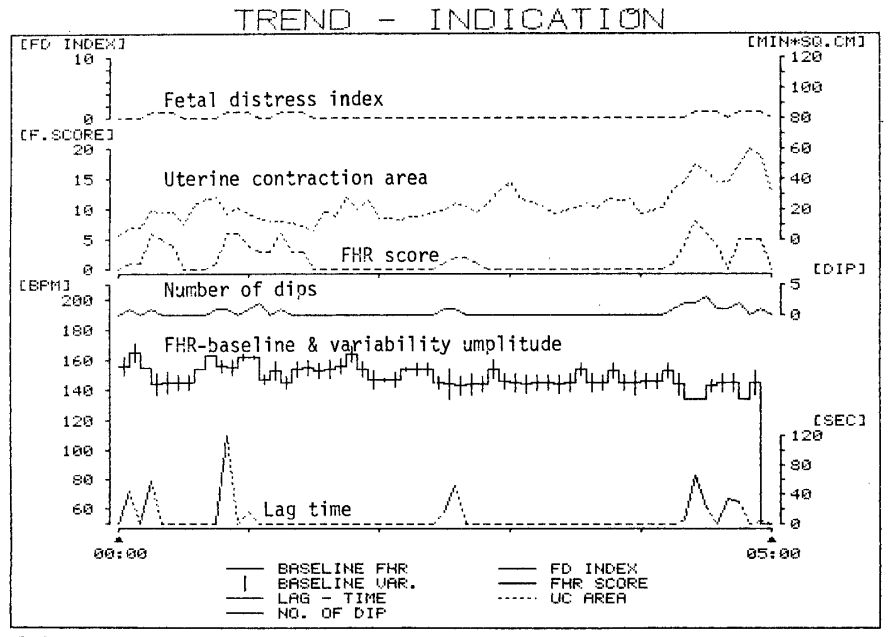
緒 言

分娩監視装置による胎児心拍数陣痛図の記録 は, 現在では産科臨床上必要不可欠であり、その 登場以来周産期死亡、胎児新生児仮死の著減に大 いに貢献してきた。また胎児心拍数の自動解析と 胎児仮死自動診断装置も開発され4)17)18), 臨床応用 されてきている。しかし分娩監視装置によつて得 られる胎児心拍数陣痛図は,長時間の記録になる と記録紙が膨大となり、一目で全体の傾向を把握 することが困難である。 胎児仮死自動診断装置で は5分ごとに自動解析されるが、それでも長時間 の連続監視となると、全体の把握、診断は、同様 に容易なことではない。そこで前田ら5)7)は、汎用 8ビットマイコンを用いて自動解析結果の諸指標 の自動トレンドグラム表示を開発した。この装置 により、定量解析の結果が集約された図形表示と なり,全体の傾向及び診断が一目で可能となつた。

本研究では、本装置を用いて分娩時の胎児心拍数図自動解析結果及びそのトレンドグラムと、娩出直後の脐帯動脈血所見とを比較検討することにより、臨床的実用化の可能性を求めた.

研究方法及び対象

胎児心拍数陣痛図の記録には、1MHzの超音波 周波数を用いた自己相関計式分娩監視装置(トー イツ製 MT810B 特型)を使用した、本装置で得ら れた胎児心拍数及び子宮収縮信号をアナログ・デ ジタル・コンバータ (以下ADC) を経てdux PDS V マイクロコンピュータに入力し、前田の胎 児心拍数自動解析 BASIC プログラムによつて処 理した5分ごとの自動解析の諸指標(胎児仮死指 数,心拍数スコア,子宮収縮面積値,一過性徐脈 数, 胎児心拍数基線, 細変動, lag time)をカラー ディスプレイ上に自動トレンドグラム表示した (図1). データのフロッピー・ディスクへの収録 はサンプリング間隔0.25秒で行い,自動解析は2 秒で行つた。ディスプレイ上のトレンドグラムは、 時間の経過に伴い5分ごとに追加され、自動的に 1画面1時間表示から、3時間表示、5時間表示 へと移行する. またキー操作により任意の時点に おいて、さかのぼつた15分間の胎児心拍数陣痛図 と、同様の5分間の自動解析結果をディスプレイ 上に表示することができる(図2)。 トレンドグラ



DATA FILE NAME = CTG00074 <CTG=CTG00074> <ST=00002> <END=01460-128> <MSG=0> <TYPE=RUC> <YMD=85/02/09> <HM=05/31> <PID=7+ 77# > <NO1= 37> <NO2=0583> <WD=40/5> <MODE=2> DATA 6ATHERING LENGTH = 06.50 H

図1 5時間表示トレンドグラムのハードコピー、上段より胎児仮死指数,子宮収縮 面積値,心拍数スコア,一過性徐脈数,胎児心拍数基線,細変動振幅,lag time が トレンドグラム表示してある.

1986年9月

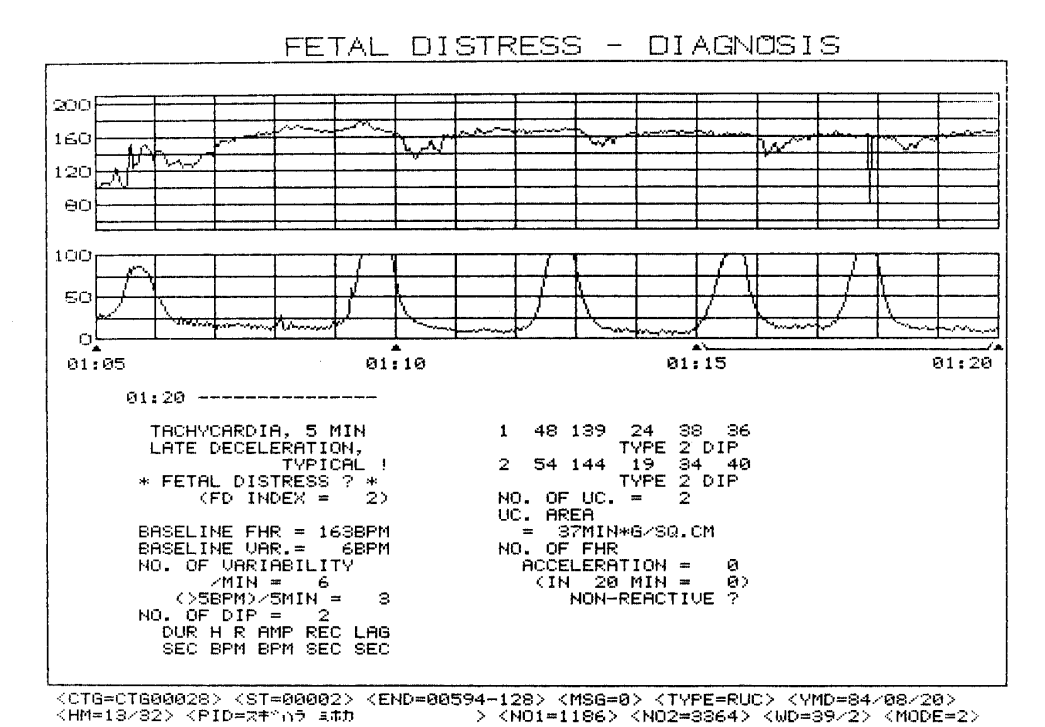


図2 ある時点よりさかのぼつた15分間の胎児心拍数陣痛図と同様の5分間の自動診断結果のハードコピー

ム表示プログラムは,前田らの仕様によりトーイッ株式会社に依頼して製作した.

トレンドグラム表示される自動解析の基本となるものは前田の心拍数スコア 3)である。心拍数スコア 3 である。心拍数スコア 3 である。心拍数スコア 3 である。心拍数スコア 3 でみる。とは、胎児心拍数基線の異常及び一過性徐脈の状態により、それぞれ重みのある点数を与え、これを5分間合計して評価したものである。5分間の合計が10点以上のときに胎児仮死を疑 3 (表 1)。さらにその上に胎児仮死指数

表 1 心拍数スコア (FHR score)

Parameter	Abnormal sign	points
baseline FHR (bpm)	110~130 or 160~180	. 1
	$90\sim110$ or exceeding 180	3
	70~90	7
	less than 70	15
deceleration		
dip heart rate	less than 100 bpm	2
amplitude	more than 50 bpm	2
recovery time	more than 40 sec.	3
duration	more than 60 sec.	3
lag time	more than 40 sec.	3
type	No acceleration just before	
	and/or after deceleration	2
	W-shaped deceleration	4

FHR score=sum of evaluation scores in the 5 minutes' duration

(FD index) をもうけ、これは心拍数スコア、細変動消失、異常な心拍数パターン及びその持続時間などによつて決定され、さかのぼつた15分間の胎児仮死指数の合計値が1点のとき警戒徴候、2点で胎児仮死疑、3点で胎児仮死と診断する(表2)。

表 2 胎児仮死指数 (FD index)

Abnormalities	FD index
FHR score is 10 or more but less than 20	1
FHR score is 20 or more	2
Loss of baseline variability lasts for 20 minutes or more	1
Typical late deceleration appears	1
Loss of baseline variability lasts for 20 minutes or more, accompanied with typical late deceleration	1
Prolonged tachycardia (160 bpm or more) lasts for 30 minutes or more	1*
Bradycardia (100~120 bpm) lasts for 10 minutes or more, but for less than 30 minutes	1*
Bradycardia (100~120 bpm) lasts for 30 minutes or more	2*
Sudden cord occulusion is suspected	3**

- * The points are renewed in every 5 minutes. On the other hand, points of other items are accumulated for every 5 minutes.
- **This symptom is detected when the dip with duration of 90 seconds or more and depth of 100 bpm or less appears succeeding to normal FHR baseline (120 bpm or more).

娩出前30分以上の記録が得られた妊娠 $33\sim42$ 週の108例(初産婦50例,経産婦58例)を対象にした。胎児仮死のため帝王切開を施行した1症例を除き,すべて頭位経腟分娩であつた。脐帯動脈血は,娩出直後第一呼吸開始前に脐帯を2ヵ所で挟鉗した後に採血し,直ちに全自動 Radiometer ABL-2を用いて,pH,base excess(以下 BE と略), HCO_3 , Po_2 , Pco_2 の測定を行つた。

以下の項目で検討を行つた.

1. 胎児仮死指数による検討

胎児仮死指数の最高得点によつて、0点群、1点群、2点群、3点以上群の4群に分類し、各群の脐帯動脈血 pH, BE, HCO_3 , Po_2 , Pco_2 の平均値と、その各群間の有意差を求めた。

2. 心拍数スコアによる検討

心拍数スコアを娩出前の0~10分から娩出前50~60分までの11時点で10分ごとに合計し、脐帯動脈血各指標との間の相関係数を求めた。

3. トレンドグラム良好群,不良群による検討 分娩経過をトレンドグラムによつて良好群と不 良群に分類し,脐帯動脈血各指標の平均値を求め た.分類は胎児仮死指数と心拍数スコアを基準に して行つた.すなわち,胎児仮死指数が1点以下 であり,しかも心拍数スコアが10点以下または10 点以上が1回のみ出現したものを良好群とした. 一方不良群は,胎児仮死指数が2点以上,あるい は10点以上の心拍数スコアが2回以上出現したも のとした.また脐帯動脈血各指標を正常値と異常 値に分け,本システムの脐帯動脈血異常値を予測 する鋭敏度と特異度を求めることによつて,胎児 心拍数図自動解析結果とそのトレンドグラム表示 の有用性を検討した.

研究成績

分娩前30分以上の記録が得られた108例の1分 Apgar スコアは8点以上が103例(95.4%)であり、7点以下は5例(4.6%)にすぎなかつた。脐帯動脈血の各平均値は、pH7.305(水素イオン濃度換算による、以下pHの平均値はすべて水素イオン濃度に換算し算出した)、BE -4.08 ± 2.44 mEq/l、 HCO_3 22.00 ± 2.16 mEq/l、 Po_2 19.23 ± 4.33 mmHg、 Pco_2 45.38 ± 8.14 mmHg であつた。

なお、本研究では全症例の平均値と標準偏差に基づいて、脐帯動脈血各指標の正常値を pH 7.250 以上、BE -6.0mEq/l 以上、 HCO_3 20.0mEq/l 以上、 Po_2 15.0mmHg 以上、 Pco_2 55.0mmHg 以下とし、それ以外の値を異常値と規定した。

1. 胎児仮死指数による検討(表3)

胎児仮死指数が 0 点の症例が55例, 1 点が29例, 2 点が13例, 3 点以上が11例(うち5 点1例, 6 点1例)であつた。1分 Apgar スコア 7 点以下のものは胎児仮死指数 0 点群に 2 例(6 点, 7 点), 3 点以上群に 3 例(3 点, 5 点, 7 点) あつた。

① 脐帯動脈血 pH と胎児仮死指数

脐帯動脈血 pH の平均値は、0 点群7.324、1 点群7.320、2 点群7.287、3 点以上群7.193で、胎児仮死指数の上昇に伴い低値となつた。1 点群と2 点群、2 点群と3 点以上群の間で、それぞれ有意差(p<0.05)を認めた。0 点群と3 点以上群間ではp<0.001の有意差を認めた。

② 脐帯動脈血 BE, HCO₃と胎児仮死指数

脐帯動脈血 BE の平均値は、0 点群 -3.16 mEq/l, 1 点群-4.12mEq/l, 2 点群-5.15mEq/l, 3 点以上群-7.81mEq/l であつた。 HCO_3 の平均値は、0 点群22.67mEq/l, 1 点群21.56mEq/l, 2

表3 胎児仮死指数と賭帯動脈血各指標との比	·赫·

FD index	0	1	2	3≦
number of cases	55	29	13	11
pН	7.324	7.320	7.287	7.193
BE (mEq/l)	-3.16 ± 1.55	-4.12 ± 2.06	-5.15 ± 2.26	-7.81 ± 4.17
HCO_3^- (mEq/l)	22.67 ± 1.87	21.56 ± 2.03	21.04 ± 2.38	20.69 ± 2.74
Po ₂ (mmHg)	19.52 ± 4.25 *	19.91 ± 4.22	18.58 ± 4.37	16.37 ± 4.91
Pco ₂ (mmHg)	44.82 ± 7.37	42.95 ± 6.15	45.81 ± 9.18	55.15±10.91

mean \pm SD *p<0.05 **p<0.01

1986年 9 月

点群21.04mEq/l, 3点以上群20.69mEq/lであり、それぞれ pH と同様胎児仮死指数の上昇に伴い低値となつた。BE では、0点群と1点群間(p<0.01)、2点群と3点以上群間(p<0.05)で有意差があり、0点群と3点以上群間では、p<0.001の有意差を認めた。 HCO_3 では、0点群と1点群間で有意差(p<0.01)があつたが、1点群と2点群間、2点群と3点以上群間では有意差を認めなかった。また0点群と3点以上群間で有意差(p<0.005)があつた。

③ 脐帯動脈血 Po₂, Pco₂と胎児仮死指数

脐帯動脈血 Po_2 の平均値は,0 点群から2 点群まで19mmHg 前後で近似していたが,3 点以上群は16.37mmHg と低値であつた。0 点群と3 点以上群間で有意差 (p<0.05) を認めたが,その他の群間では有意差を認めなかつた。脐帯動脈血 Pco_2

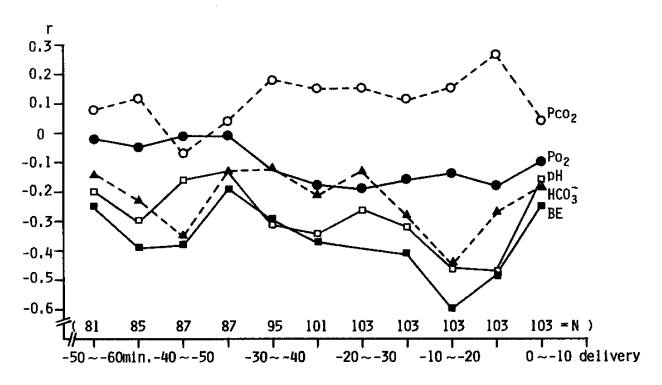
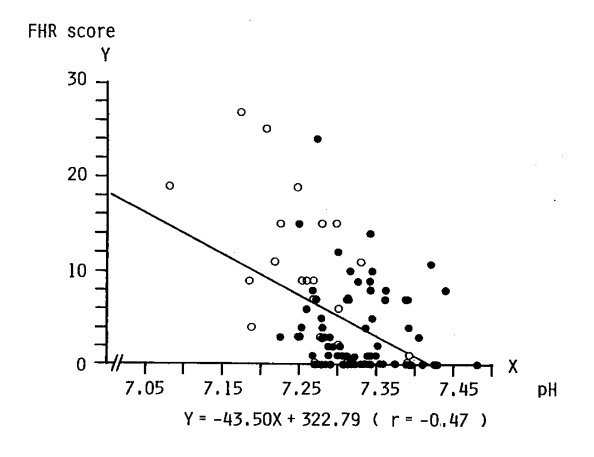


図3 娩出前0~10分から50~60分までの11時点における10分間合計の心拍数スコアと脐帯動脈血各指標との相関



も同様に、2点群までは近似しており有意差を認めなかつたが、3点以上群は55.15mmHg で他の群より明らかに高値となり、2点群との間に有意差(p<0.05)を認めた。

2. 心拍数スコアによる検討(図3)

① 脐帯動脈血 pH と心拍数スコア

 $0\sim10$ 分, $35\sim45$ 分, $40\sim50$ 分, $50\sim60$ 分を除く7時点で有意な逆相関関係が認められた.特に $5\sim15$ 分, $10\sim20$ 分の時点で高い相関係数が得られ,最大の相関係数は $5\sim15$ 分の時点でr=-0.47であつた(図4).

② 脐帯動脈血 BE, HCO₃と心拍数スコア

BE に関しては分娩前 $35\sim45$ 分を除く10時点で有意な逆相関関係が得られ、特に $5\sim15$ 分、 $10\sim20$ 分、 $15\sim25$ 分の3時点で高い相関係数が得られた。

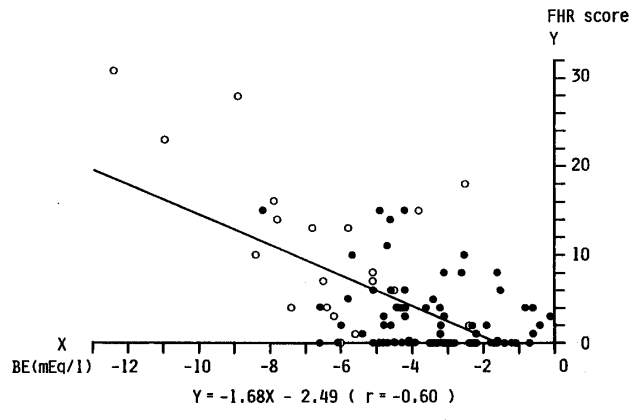


図 5 脐帯動脈血 BE (X) と娩出前10~20分の FHR score (Y) との相関 (●はトレンドグラム良好群, ○はトレンドグラム不良群)

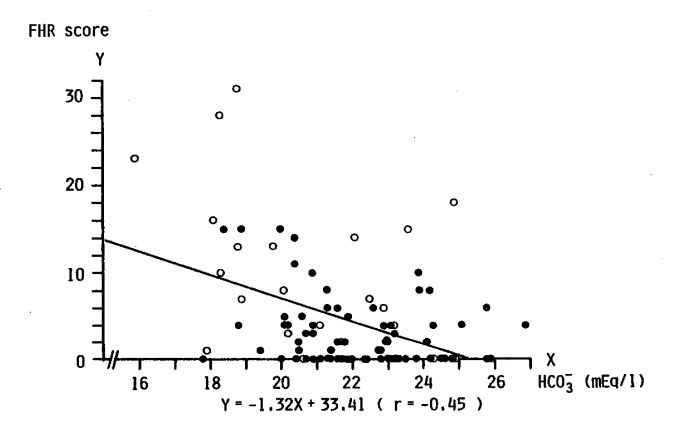


図 6 脐帯動脈血 HCO₃ (X)と娩出前10~20分の FHR score (Y)との相関(●はトレンドグラム良 好群,○はトレンドグラム不良群)

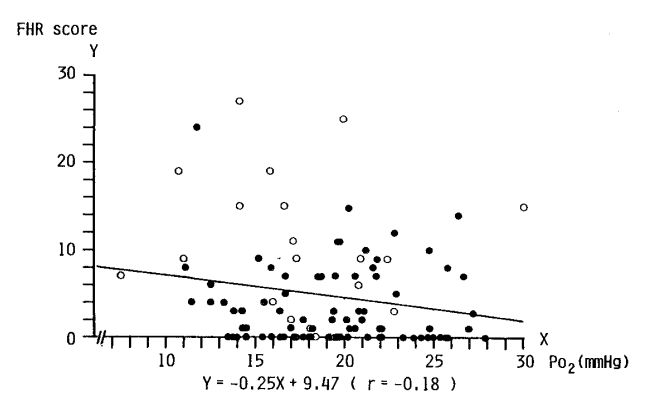
最大の相関係数は $10\sim20$ 分の時点でr=-0.60であり(図 5), 脐帯動脈血各指標の中で心拍数スコアとの相関は BE が最も高かつた。 HCO_3 に関しては $5\sim15$ 分, $10\sim20$ 分, $15\sim25$ 分, $25\sim35$ 分, $40\sim50$ 分, $45\sim55$ 分の 6 時点で有意な逆相関関係が認められ,最大の相関係数は $10\sim20$ 分の時点でr=-0.45であつた(図 6)。

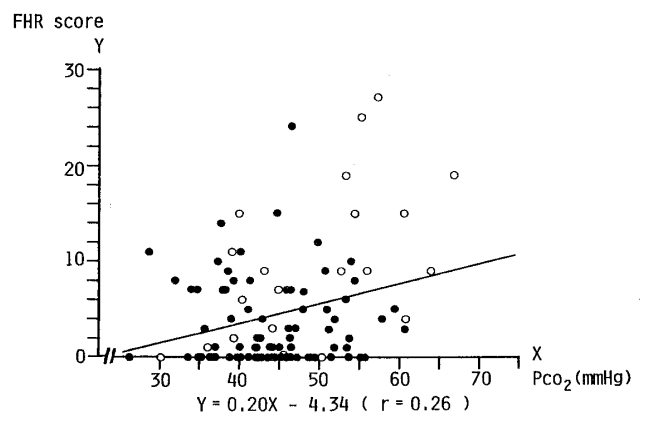
③ 脐帯動脈血 Po2, Pco2 と心拍数スコア

 Po_2 に関しては全時点で有意な相関関係は認められなかつた(図 7)。 Pco_2 に関しても、 $5\sim15$ 分の時点で有意な相関関係を認めるのみで、その相関係数も r=0.26(図 8)で pH, BE, HCO_3 と比べて低かつた。

3. トレンドグラム良好群と不良群による比較 検討

良好群80例,不良群28例に分類できた。トレン





ドグラム良好群の脐帯動脈血各指標の平均値は、pH 7.324, BE -3.41mEq/l, HCO $_3$ 22.35mEq/l, Po $_2$ 19.67mmHg, Pco $_2$ 44.15mmHg であつた。 一方、トレントグラム不良群はpH 7.255, BE -6.01mEq/l, HCO $_3$ 21.00mEq/l, Po $_2$ 17.95 mmHg, Pco $_2$ 48.90mmHg であり,良好群の各平均値と比べpH (p<0.001),BE (p<0.001),HCO $_3$ (p<0.005),Po $_2$ (p<0.05) は有意に低く,Pco $_2$ (p<0.005) は有意に高かつた(表 4)。

トレンドグラム良好群と不良群における脐帯動 脈血各指標の正常値と異常値の症例数を比較する ことにより鋭敏度と特異度を算出してみると、鋭 敏度, 特異度とも Po_2 を除き良好であつた(表 5). 特に、pHとBEはそれぞれ鋭敏度が72.7% (8/11), 76.5%(13/17), 特異度が79.4%(77/97), 83.5% (76/91) であり高い値を示した。また,ト レンドグラム良好群80例中, 脐帯動脈血各指標が 正常値を示した症例は、pH 77例(96.3%)、BE 76 例 (95.0%), HCO - 74例 (92.5%), Po₂ 67例 (83.8%), Pco₂ 75例 (93.8%) であり、ほとんど の症例が正常の脐帯動脈血所見を呈していた。一 方トレンドグラム不良群の場合, 異常値を示した 症例は、pH 8 例 (28.6%), BE 13例 (46.4%), HCO_3^- 10例(35.7%),Po₂ 6例(21.4%),Pco₂ 9例(32.1%)であり、良好群と比較すると Po₂を 除き有意 (p<0.01) に異常値が多かつた。

老 室

胎児心拍数図の定量解析に関しては,前田ら³), Hammacher et al.¹²) Krebs et al.¹⁵)などが報告し ており,胎児末梢血 pH¹¹)や,娩出直後の脐帯血

表 4 トレンドグラム良好群 (normal) と不良群 (ominous) の脐帯動脈血各指標の平均値

trendgram	normal	ominous
number of cases	80	28
pH	7.324	7.255***
BE (mEq/l)	-3.41 ± 1.78	$-6.01 \pm 3.02***$
HCO_3^- (mEq/l)	$22.35\!\pm\!1.98$	21.00± 2.36**
Po ₂ (mmHg)	19.67 ± 4.28	17.95± 4.29*
Pco ₂ (mmHg)	44.15 ± 7.04	48.90±10.01**

mean±SD

*p<0.05 **p<0.005 ***p<0.001 normal group vs ominous group

トレンドグラム良好群 (normal), 不良群 (ominous) による脐帯動脈血各指標の 異常値を予測する鋭敏度 (sensitivity) と特異度 (specificity)

pН	7.25≼	7.25>	
normal	77	3	
ominous	20	8 .	
sensitivity = 72.7% specificity = 79.4%			

BE (mEq/l)	-6.0≼	-6.0>	
normal	76	4	
ominous	15	13	
sensitivity=76.5% specificity=83.5%			

p < 0.01

HCO ₃ (mEq/l)	20.0≼	20.0>	
normal	74	6	
ominous	18	10	
sensitivity=62.5%			
specificity = 80.4%			

1000	10	10
	vity = 76.5% city = 83.5%	
		p<0.01

Po ₂ (mmHg)	15.0 ≼	15.0>		
normal 67 13				
ominous	22	6		
sensitivity=31.6%				
specificity = 75.3%				

N.S.

	_	_	
n<	n i	n	3

Pco ₂ (mmHg)	55.0≽	55.0<	
normal	75	5	
ominous	19	9	
sensitivity = 64.3% specificity = 79.8%			

p < 0.01

pHとの関連性に関する研究も行われてきた。ま たコンピュータを利用した自動胎児監視装置に関 しても, Yeh et al.26 Krause et al.14 をはじめ多 くの報告10)21)があるが、トレンドグラムに関する 研究は少ない. 本研究では, 定量的胎児心拍数解 析の指標に、前田の心拍数スコアと胎児仮死指数 を選び, 脐帯動脈血所見との関連を検討した.

1. 胎児仮死指数,心拍数スコアについて

加藤2)は、胎児自動診断補助装置を用いて5分 ごとの自動解析結果と脐帯動脈血所見との相関を 検討し、胎児仮死指数及び心拍数スコアと脐帯動 脈血 BE, HCO3との間に有意な相関があつたと 述べた。本研究では、胎児仮死指数によつて4群 に分類し脐帯動脈血各指標の平均値を比較検討し たが、pH, BE, HCO3は、胎児仮死指数の上昇に 伴い有意に低下する傾向があつた。胎児仮死指数 は、胎児心拍数図の定量的総合評価ということが でき、 脐帯動脈血 pH, BE, HCO3の値を微妙に反 映していると思われた.

Beguin et al.9は、コンピュータで一過性徐脈面 積値を求め、その定量解析結果と胎児末梢血 pH は相関すると述べた。そのうち、各子宮収縮の開 始後80~140秒後に起こる一過性徐脈面積値の採

血前20分間の合計値と pH との相関が最大であ 9, r = -0.453であつたという。本研究の心拍数ス コアと脐帯動脈血各指標の間の相関に関する検討 では、脐帯動脈血pHは娩出前5~15分間(r= -0.47) の心拍数スコアと,また BE, HCO₃は娩 出前 $10\sim20$ 分間 (r=-0.60, r=-0.45) の心拍数 スコアと最大の相関を示した。 定量解析の方法及 び脐帯動脈血, 末梢血の違いはあるものの, pH に 関しては同程度の相関係数であつた。加藤が報告 した内測法による心拍数スコアと脐帯動脈血各指 標の間の最大の相関係数は、pH が娩出5分前で r=-0.242, BE が 娩 出25分 前 で r=-0.375, HCO_3 が娩出15分前で r=-0.393であり、本研究 ではこれより高い相関係数が得られたが、これは 2時点の心拍数スコアを合計したためと考えられ る. また pH と, 代謝性因子である BE, HCO3 と がある時間差をもつて最大の相関を示したこと は、pHは呼吸性因子が関与するために、BE、 HCO₃よりもその経時的変動が早いためと推察さ れ,加藤の結果とも一致する.

Katz et al.¹³⁾は、分娩中の胎児心拍数が正常の 時、娩出直前の徐脈は15分を超えなければアシ ドーシスは起こらないと述べた。また大谷6も同 様の報告をしており、娩出直前の心拍数の異常は必ずしも脐帯動脈血所見を反映していない。このことは、本研究における娩出直前10分間の心拍数スコアと脐帯動脈血各指標との相関が低かつたことからも推察される。Goeschen et al.¹¹⁾は、心拍数の異常が起こると30分以内に胎児はアシドーシスに陥ると述べているが、著者も、心拍数の異常が胎児血に影響を及ぼすにはある一定の時間を要するものと考えている。

Wood et al.²⁴)によれば,胎児の Po_2 , Pco_2 は胎児心拍数の異常と平行した変化をとることは少ないという。本研究においても,胎児仮死指数及び心拍数スコアの両方とも脐帯動脈血 Po_2 , Pco_2 との関連は低かつた.

2. トレンドグラム良好群と不良群について

分娩進行に伴い胎児はアシドーシスになる²²⁾。 理論的に胎児のアシドーシスは、異常な胎児心拍 数の変化に相当するストレスの程度とその時間に 関係するものと考えられる。遠藤1)によれば、脐帯 動脈血 pH 低値群 (pH < 7.20) では, pH 高値群 よりも分娩全経過にわたつて高い心拍数スコアを 示すという。従つて、トレンドグラム良好群と不 良群の分類基準には、分娩全経過における胎児仮 死指数と心拍数スコアを用いた。10点以上の心拍 数スコアが2回以上出現したものを不良群とした のは、時間的経過を重視したためである。 胎児仮 死指数は1点であつたが、10点以上の心拍数スコ アが2回以上出現したために不良群と判断した症 例は4例あつた。そのうち1例の脐帯動脈血所見 lt, pH 7.222, BE -10.9mEq/l, HCO $\frac{1}{3}$ 15.9 mEq/l であり明らかにアシドーシスであつた。

Wible et al.²³⁾は,脐帯動脈血の異常値を pH < 7.20,BE < $-8\sim-9$ mEq/l, $Pco_2>60$ mmHg としており,著者が規定した脐帯動脈血各指標の異常値と異なる。 Apgar スコアを考慮すれば Wible et al.の報告が妥当と思われるが,本研究における症例は大多数が 1 分 Apgar スコア 8 点以上であったため,脐帯動脈血の異常値の基準を厳しく設定した。

Krause et al.¹⁴は,心拍数所見重回帰式計算値 と陣痛の Montevideo 単位値の 2 個のパラメータ

をディスプレイ上にトレンドグラム表示した。こ のシステムでは脐帯動脈血 pH 7.20以上の予測が 80%可能であり、また異常と診断した心拍数パ ターンの26%が1分 Apgar スコア 7 点以下と相 関したと報告している。本研究の胎児監視システ ムにおけるトレンドグラム良好群と不良群の診断 基準を用いた場合の鋭敏度、特異度は、pH, BE に 関しては70%以上と良好であり、また、脐帯動脈 血各指標の正常値の予測に関しても Pogを除き 90%以上可能で非常に良好であつた。すでに報 告8)16)20)されているように、胎児心拍数図のみから 脐帯動脈血所見及び、Apgar スコアを予測するに は限界があり、一般に偽陽性が多く、偽陰性が少 ない傾向にある. つまり, 脐帯動脈血所見に影響 を及ぼす因子は種々あり19)25), 胎児心拍数のみが 重要な因子とはいえない。従つて、脐帯動脈血の 異常値の予測は21.4~46.4%と低い値であつた が、これは本研究における胎児監視システムの問 題というより、胎児心拍数図と脐帯血所見の関連 上の問題と思われる.

本研究は一部文部省科学研究費(課題番号57370028)及び厚生省心身障害研究補助金によつた。また第37回日本産科婦人科学会学術講演会、第24回日本ME学会大会に本研究の要旨を発表した。御指導御校閲頂いた鳥取大学産科婦人科学教室前田一雄教授、御校閲賜つた同第2生理学教室及川俊彦教授、同小児科学教室白木和夫教授に深謝する。

文 献

- 1. **遠藤静男**:分娩経過と関連した胎児心拍数図の時間的変動. 米子医学雑誌,23:266,1972.
- 2. 加藤一雄:心拍数自動解析パラメータと臍帯動脈 血分析値の相関に関する研究. 日産婦誌, 36: 1027, 1984.
- 3. 前田一雄, 木村制哉, 福井儀郎, 小沢修一, 小坂 亘, 王張富美, 田村迪子, 高田大陸, 中野仁雄, 三苫守行: 胎児の生理ならびに病理に関する研 究。日産婦誌, 21:877, 1969.
- 4. **前田一雄**: 胎児心拍数自動診断分娩監視装置とその臨床応用。臨床 ME, 5:194, 1981.
- 5. **前田一雄, 入江 隆**:分娩時における胎児心拍数・陣痛のトレンドグラム. 臨婦産, 39:206, 1985.
- 6. 大谷嘉明: 児出生直前直後の心拍数変動と脐帯動脈血所見の関連に関する研究。日産婦誌,37:2073,1985。
- 7. **辰村正人**, 中嶌一彦, 入江 隆, 前田一雄:胎児 心拍数トレンドグラムに関する研究. 医用電子と

- 生体工学. 投稿中.
- 8. Ayromlooi, J., Tobias, M. and Berg, P.: Correlation of ominous fetal heart rate pattern and scalp blood pH with one-minute Appar score. Int. J. Gynaecol. Obstet., 17: 185, 1979.

入江

- Beguin, F., Yeh, S.Y., Forsythe, A. and Hon, E. H.: A study of fetal heart rate deceleration areas. II. Correlation between deceleration areas and fetal pH during labor. Obstet. Gynecol., 45: 292, 1974.
- Flowers, C.E., Hinkley, C.M. and Hatcher, J. W.: The use of a digital computer in monitoring the condition of the fetus during labor. Am. J. Obstet. Gynecol., 111: 644, 1971.
- 11. Goeschen, K., Kersting, A. and Saling, E.: Kann in der Austreibungsperiode auf die Fetalblutanalyse verzichtet werden? Z. Geburtsh. U. Perinat., 188: 74, 1984.
- 12. Hammacher, K., Brun Del Re, R., Gaudenz, R., De Grandi, P. and Richter, R.: Kardiotokographischer Nachweis einer fetalen Gefährdung mit einem CTG-Score. Gynäk. Rdsch., 14: 61, 1974.
- 13. Katz, M., Shani, N., Meizner, I. and Insler, V.: Is end-stage deceleration of the fetal heart ominous? Br. J. Obstet. Gynecol., 89: 186, 1982.
- Krause, W., Michels, W., Kunath, H. and Volkmer, H.: Eine neve Form der Darstellung fetaler Kardiotokogramme. Z. Geburtsh. U. Perinat., 185: 20, 1981.
- 15. *Krebs, H.B. and Petres, R.E.*: Clinical application of a scoring system for evaluation of antepartum fetal heart rate monitoring. Am. J. Obstet. Gynecol., 130: 765, 1978.
- 16. Low, J.A., Boston, R.W. and Pancham, S.R.: The role of fetal heart rate patterns in the recognition of fetal asphyxia with metabolic acidosis. Am. J. Obstet. Gynecol., 109: 922, 1971.
- 17. Maeda, K., Arima, T., Tatsumura, M. and Nagazawa, T.: Computer-aided fetal heart rate analysis and automatic fetal-distress

- diagnosis during labor and pregnancy utilizing external technique in fetal monitoring. In MEDINFO 80, Proc. 3rd World Conf. Med. Informatics, (eds. D.A.B. Lindberg and S. Kaihara), 1214. North Holland, Amsterdam, New York and Oxford, 1980.
- 18. Maeda, K.: Computerized automatic diagnosis of fetal distress with use of external monitoring technique. In Computerdiagnostik in der Geburtsmedizin, 2. Symposium, (ed. W. Krause), 28. Friedrich-Schiller-Universität Jena, 1981.
- 19. Miller, F.C., Petrie, R.H., Arce, J.J., Paul, R.H. and Hon, E.H.: Hyperventilation during labor. Am. J. Obstet. Gynecol., 120: 489, 1974.
- Tejani, N., Mann, L.I. and Bhakthavathsalan,
 A.: Correlation of fetal heart rate patterns and fetal pH with neonatal outcome. Obstet. Gynecol., 48: 460, 1976.
- 21. Wade, M.E., Coleman, P.J. and White, S.C.: A computerized fetal monitoring system. Obstet. Gynecol., 48: 287, 1976.
- 22. Weber, T. and Pedersen, S.H.: Normal values for fetal scalp tissue pH during labor. Br. J. Obstet. Gynecol., 86: 728, 1979.
- 23. Wible, J.L., Petrie, R.H., Koons, A. and Perez, A.: The clinical use of umbilical cord acidbase determinations in perinatal surveillance and management. Clin. Perinat., 9: 387, 1982.
- 24. Wood, C., Lumley, J. and Renou, P.: A clinical assessment of foetal diagnostic methods. J. Obstet. Gynaec. Brit. Cwlth., 74: 823, 1967.
- Wood, C., Ng, K.H., Hounslow, D. and Benning, H.: Time-an important valiable in normal delivery. J. Obstet. Gynaec. Brit. Cwlth., 80: 295, 1973.
- 26. Yeh, S.Y., Jilek, J. and Hon, E.H.: On-line diagnosis of ominous fetal heart rate patterns: A warning device. Am. J. Obstet. Gynecol., 118: 559, 1974.

(特別掲載 No. 5970 昭61・5・13受付)